

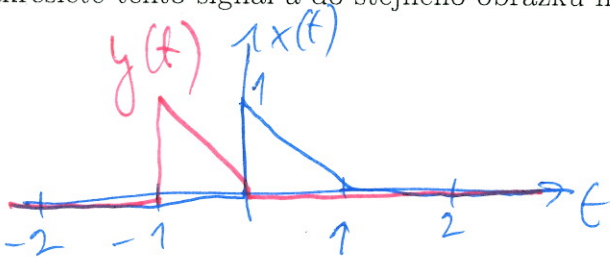
Semestrální zkouška ISS, řádný termín, 2.1.2020, skupina A

REF

Login: Příjmení a jméno: Podpis:
(prosím čitelně!)

Příklad 1 Signál se spojitým časem je dán jako: $x(t) = \begin{cases} 1-t & \text{pro } 0 \leq t \leq 1 \\ 0 & \text{jinde} \end{cases}$

Nakreslete tento signál a do stejného obrázku nakreslete signál $y(t) = x(t+1)$.



Příklad 2 Periodický signál se spojitým časem je dán jako: $x(t) = 14 + 16 \cos(400\pi t - 0.3\pi)$. Určete hodnotu nultého koeficientu jeho Fourierovy řady (FR).

→ hodnota stejnosměrné složky

$c_0 = 14$

Příklad 3 Ukažte na zvoleném periodickém **komplexním** signálu se spojitým časem $x(t)$, že pro jeho koeficienty Fourierovy řady (FR) **neplatí** symetrie platná pro reálné signály: $c_k = c_{-k}^*$

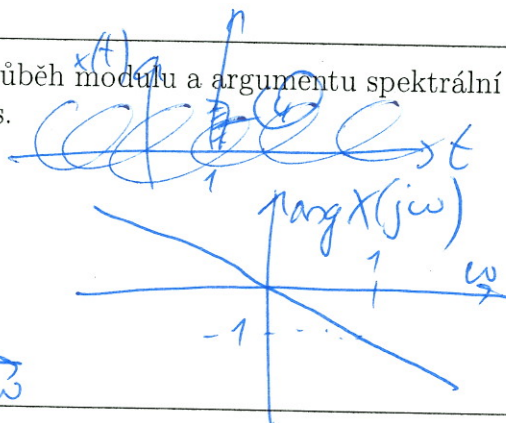
Např. komplexní exponenciála $x(t) = e^{j\omega_0 t}$

ma jen $c_1 = 1$, $c_{-1} = 0$

neplatí, že $c_{-1} = c_1^$!*

jiná možnost viz B nebo i další...

Příklad 4 Nakreslete průběh modulu a argumentu spektrální funkce $X(j\omega)$ pro signál: $x(t) = 4\delta(t-1)$, kde $\delta(t)$ je Diracův impuls.

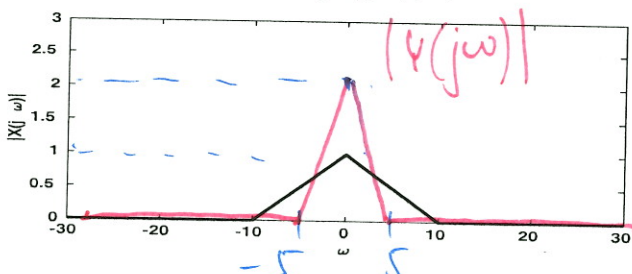


$$X(j\omega) = \int_{-\infty}^{\infty} x(t)e^{-j\omega t} dt = 4e^{-j\omega \cdot 1}$$

$$|X(j\omega)| = 4$$

$$\arg X(j\omega) = -\omega$$

Příklad 5 Na obrázku je modul spektrální funkce $|X(j\omega)|$ signálu $x(t)$. Nakreslete do stejného obrázku modul spektrální funkce $|Y(j\omega)|$ zpomaleného signálu $y(t) = x(\frac{t}{2})$



$$m = \frac{1}{2}$$

$$y(t) = x(mt)$$

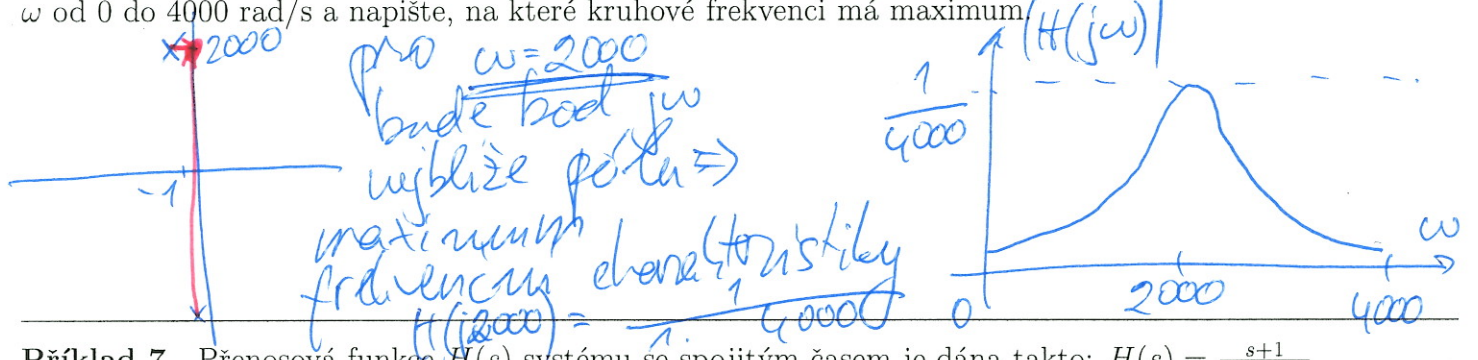
$$Y(j\omega) = \frac{1}{m} X\left(\frac{j\omega}{m}\right) =$$

$$= 2 \cdot X(2j\omega)$$

2x "rychlejší" a 2x větší.

Příklad 6 Přenosová funkce $H(s)$ systému se spojitým časem nemá žádné nulové body a má dva póly: $p_1 = -1 + j2000$, $p_2 = -1 - j2000$

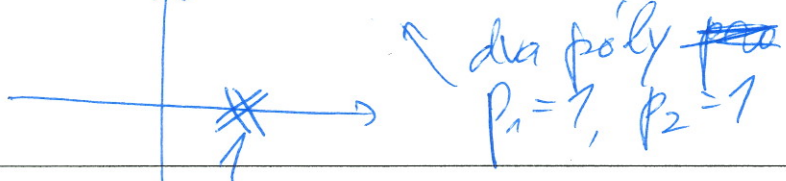
Nakreslete přibližně průběh modulu frekvenční charakteristiky tohoto systému $|H(j\omega)|$ pro kruhové frekvence ω od 0 do 4000 rad/s a napište, na které kruhové frekvenci má maximum $|H(j\omega)|$



Příklad 7 Přenosová funkce $H(s)$ systému se spojitým časem je dána takto: $H(s) = \frac{s+1}{s^2-2s+1}$. Určete, zda je systém stabilní.

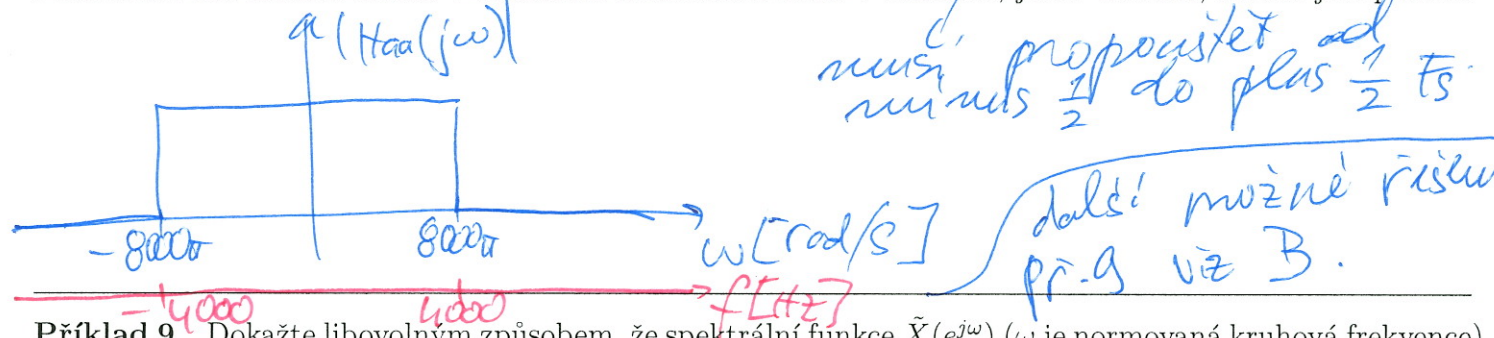
$$H(s) = \frac{s+1}{(s-1)(s-1)}$$

jejich Reálná složka je kladná ⇒ nestabilní



Příklad 8 Nakreslete průběh modulu frekvenční charakteristiky anti-aliasingového filtru $|H_{aa}(j\omega)|$ pro vzorkování na vzorkovací frekvenci $F_s = 8$ kHz

Frekvenční osu můžete kreslit v radiánech za sekundu nebo v Hertzích, jasně označte, kterou jste použili.



Příklad 9 Dokažte libovolným způsobem, že spektrální funkce $\tilde{X}(e^{j\omega})$ (ω je normovaná kruhová frekvence) signálu s diskretním časem $x[n]$ je **periodická**.

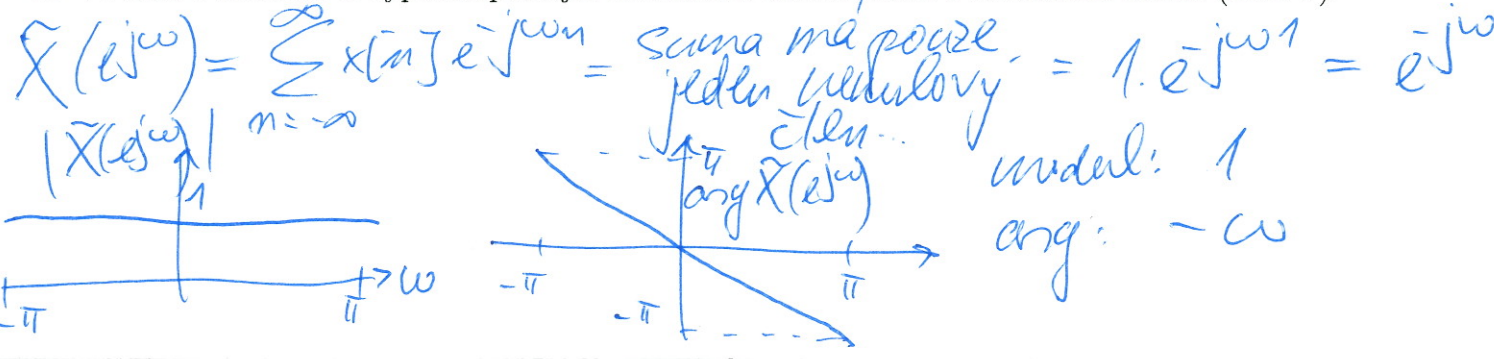
vtokování v čase: $x_s = x(t) \cdot s(t)$ ← vzorkovací signál = sdružení Diracových impulzů (sdobení)

ve frekvenci: $X_s(j\omega) = X(j\omega) * S(j\omega)$ ← spektrum je také sdružení Diracových impulzů (konvoluce)

konvoluce s Diracovy funkcí jako kopírka → periodické spektrum

Příklad 10 Signál s diskretním časem je dán takto: $x[n] = \begin{cases} 1 & \text{pro } n = 1 \\ 0 & \text{jinde} \end{cases}$. Vypočítejte a nakreslete

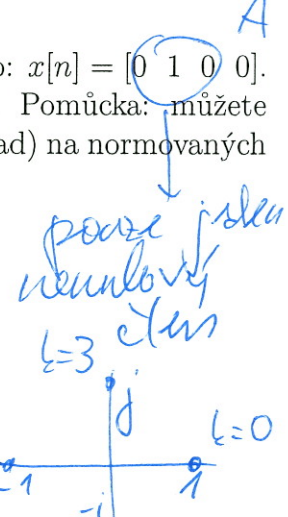
průběh modulu i argumentu jeho spektrální funkce $\tilde{X}(e^{j\omega})$ pro normované kruhové frekvence ω od $-\pi$ rad do $+\pi$ rad. Pomůcka: k výpočtu použijte Fourierovu transformaci s diskretním časem (DTFT).



Příklad 11 Signál s diskretním časem o délce $N = 4$ je pro $n = [0 \ 1 \ 2 \ 3]$ dán takto: $x[n] = [0 \ 1 \ 0 \ 0]$. Vypočítejte všechny koeficienty jeho diskretní Fourierovy transformace (DFT): $X[k]$. Pomůcka: můžete provést kontrolu: hodnoty koeficientů $X[k]$ vzorkují průběh DTFT (předcházející příklad) na normovaných kruhových frekvencích $k \frac{2\pi}{N}$.

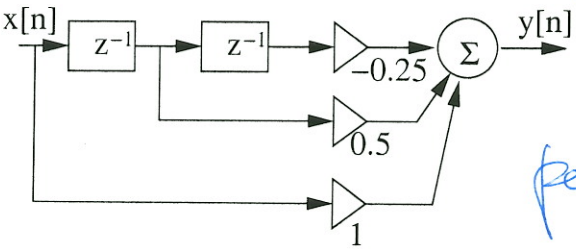
$$X[k] = \sum_{n=0}^{N-1} x[n] e^{-j \frac{2\pi}{N} kn}$$

k	$e^{-j \frac{2\pi}{N} kn} = e^{-j \frac{2\pi}{4} k n} = e^{-j \frac{\pi}{2} kn}$
0	1
1	-j
2	-1
3	j



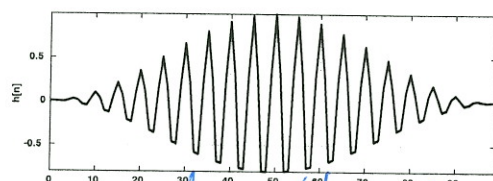
$X[0] = 1$ $X[1] = -j$ $X[2] = -1$ $X[3] = j$

Příklad 12 Určete, zda je číslicový filtr se schématem na obrázku stabilní. Světlo krátce zdůvodněte.



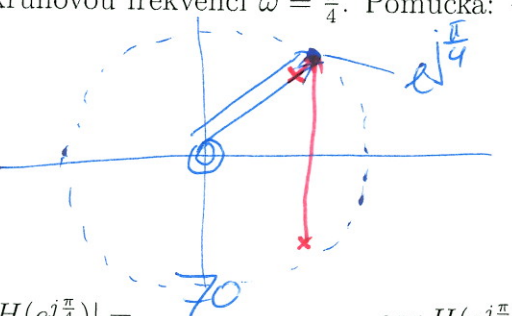
(kontrola vyčítací pro k=0, 1, 2 pro k=3 je nutné se dívat na $\omega = -\frac{\pi}{2}$)
pouze FIR filtr => stabilní

Příklad 13 Impulsní odezva číslicového filtru má délku $N = 100$ vzorků a je na obrázku. Byla vygenerována jako $h[n] = w[n] \cos(\frac{4\pi}{10}n)$, kde $w[n]$ je okno tlumící na okrajích. Nakreslete přibližně průběh modulu frekvenční charakteristiky tohoto systému $|H(e^{j\omega})|$ pro normované kruhové frekvence ω od 0 do π rad a napište, na které frekvenci má maximum.



filtrace ≈ ladění podobnosti / "promítání" do impulsní ztevy.
 $|H(e^{j\omega})|$ bude

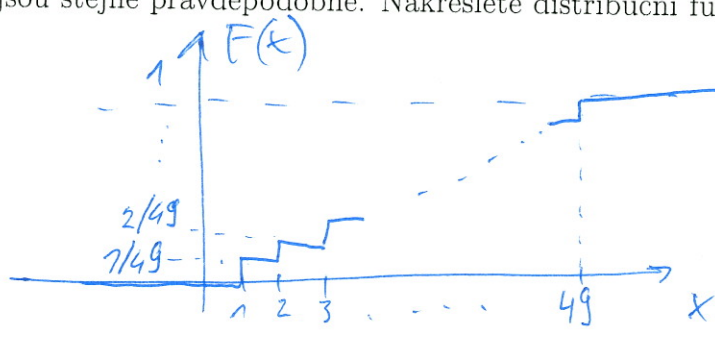
Příklad 14 Přenosová funkce $H(z)$ číslicového filtru má dva nulové body: $n_1 = n_2 = 0$ a dva póly: $p_1 = 0.99e^{j\frac{\pi}{4}}$, $p_2 = 0.99e^{-j\frac{\pi}{4}}$. Určete modul a argument jeho frekvenční charakteristiky pro normovanou kruhovou frekvenci $\omega = \frac{\pi}{4}$. Pomůcka: $\sqrt{2} = 1.4$, $\frac{1}{\sqrt{2}} = 0.7$.



modul = $\frac{\text{součin délek modrých vektorů}}{\text{součin délek červených vektorů}}$
 $= \frac{1 \cdot 1}{0.99 \cdot \frac{2 \cdot 1}{\sqrt{2}}} = \frac{100}{\sqrt{2}} = 70$
argument = součet úhlů modrých vektorů - součet úhlů červených vektorů
 $= \frac{\pi}{4} + \frac{\pi}{4} - \frac{\pi}{4} - \frac{\pi}{4} = -\frac{\pi}{4}$

$|H(e^{j\frac{\pi}{4}})| = 70$, $\arg H(e^{j\frac{\pi}{4}}) = -\frac{\pi}{4}$

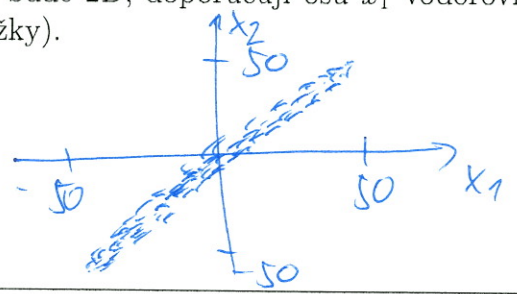
Příklad 15 Stacionární náhodný signál "Sportka" $\xi[n]$ nabývá diskretních hodnot $X_1 = 1$ až $X_{49} = 49$, které jsou stejně pravděpodobné. Nakreslete distribuční funkci $F(x)$ tohoto náhodného signálu.



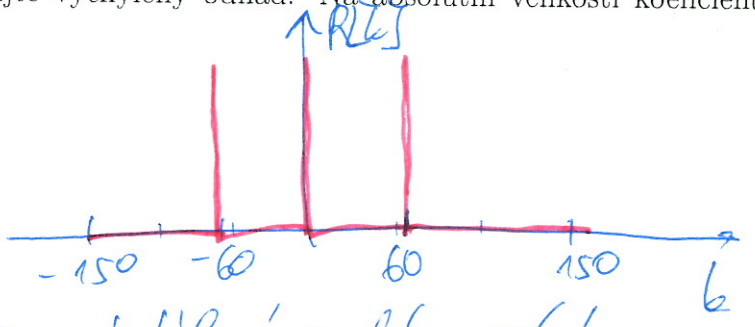
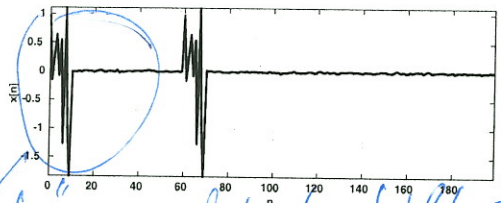
$$F(x) = P\{\xi[n] < x\}$$

Příklad 16 Stacionární náhodný signál $\xi[n]$ má spojité hodnoty v intervalu od -50 do +50. Vzorek $\xi[n]$ se od předcházejícího $\xi[n-1]$ liší maximálně o 3, tedy $|\xi[n] - \xi[n-1]| < 3$. Nakreslete, jak bude přibližně vypadat sdružená funkce hustoty rozdělení pravděpodobnosti $p(x_1, x_2, k)$ náhodného signálu pro sousední vzorky (tedy $k = 1$) a krátce zdůvodněte. Pomůcka: funkce bude 2D, doporučuji osu x_1 vodorovně, x_2 svisle a jako hodnoty stupně šedi (příp. stupně barvy Vaší tužky).

*hodnoty pouze pro x_1 i $x_2 \in (-50, 50)$, jinak nula
sousední vzorky se nemohou moc lišit \Rightarrow silná podobnost*



Příklad 17 Na obrázku je průběh náhodného signálu $x[n]$. Nakreslete přibližně průběh jeho korelačních koeficientů $R[k]$ pro k od -150 do +150. Použijte vychýlený odhad. Na absolutní velikosti koeficientů nezáleží.



*"dávka" vypadá jako bílý šum:
žádná podobnost, pokud se ale přecvakne pak druhou \rightarrow totální podobnost!*

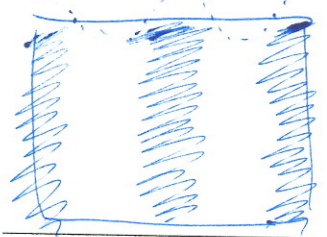
Příklad 18 Odvoďte vztah pro poměr signálu k šumu způsobenému kvantováním pro náhodný vstupní signál, jehož funkce hustoty rozdělení pravděpodobnosti je konstantní od hodnoty $-A$ do A , nulová jinde. Máme k dispozici b bitů, tedy $L = 2^b$ kvantovacích hladin. Ty jsou rozmístěny od $-A$ do A ; na nejbližší kvantovací hladinu zaokrouhlujeme. Pomůcka: postup jsme viděli na přednášce, jediným rozdílem je, že na vstupu není cosinusovka, ale náhodný signál.

šum $\Delta = \frac{2A}{L}$ $P_s = \frac{\Delta^2}{12}$

signal - totální!! $P_s = \frac{(2A)^2}{12}$

$SNR = 10 \log_{10} \frac{P_s}{P_e} = 10 \log_{10} \frac{(2A)^2}{\frac{\Delta^2}{12}} = 10 \log_{10} \frac{4A^2}{\frac{4A^2}{L^2}} = 10 \log_{10} L^2 = 10 \log_{10} (2^b)^2 = 20b \log_{10} 2 = 6.02b \text{ dB}$

Příklad 19 Nakreslete obrázek o rozměrech $K = 100$ řádků a $L = 100$ sloupců s pixely danými vztahem: $x[k, l] = \frac{1}{2} + \frac{1}{2} \cos(2\pi \frac{2}{100} l)$, kde k je svislé počítadlo řádků a l je vodorovné počítadlo sloupců. Bílá (papír) je nula, černá (nebo barva Vaší tužky) je 1.

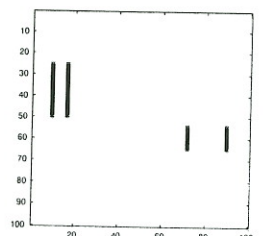
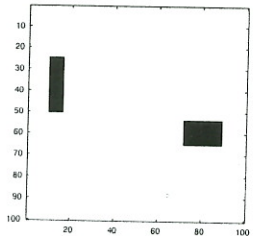


2 "vlny" vodorovne

= 6.02 dB

tento výsledek bez úpravy stačí!

Příklad 20 Na prvním obrázku je vstupní obrázek $x[k, l]$, na druhém jeho vyfiltrovaná verze. Bílá (papír) je nula, černá je 1. Jednalo se o filtraci pomocí masky (konvolučního jádra, matice) $h[k, l]$ o rozměrech 3×3 . Napište hodnoty $h[k, l]$ pro tuto filtraci.



detekce svislých hran, Laplacův filtr

$$\frac{1}{8} \begin{bmatrix} -1 & 0 & 1 \\ -2 & 0 & 2 \\ -1 & 0 & 1 \end{bmatrix}$$

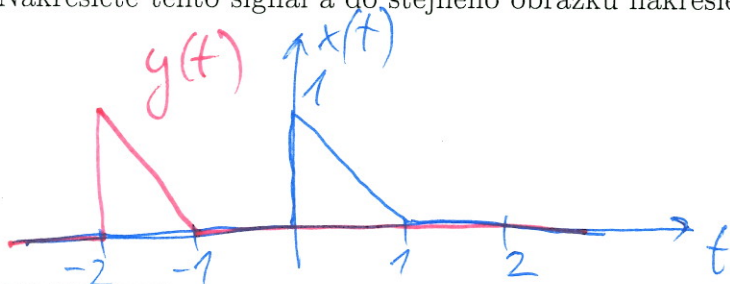
Semestrální zkouška ISS, řádný termín, 2.1.2020, skupina B

REF

Login: Příjmení a jméno: Podpis:
(prosím čitelně!)

Příklad 1 Signál se spojitým časem je dán jako: $x(t) = \begin{cases} 1-t & \text{pro } 0 \leq t \leq 1 \\ 0 & \text{jinde} \end{cases}$

Nakreslete tento signál a do stejného obrázku nakreslete signál $y(t) = x(t+2)$.



Příklad 2 Periodický signál se spojitým časem je dán jako: $x(t) = 2.5 + 16 \cos(300\pi t - 0.3\pi)$. Určete hodnotu nultého koeficientu jeho Fourierovy řady (FR).

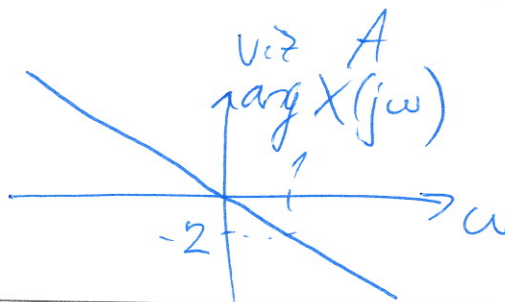
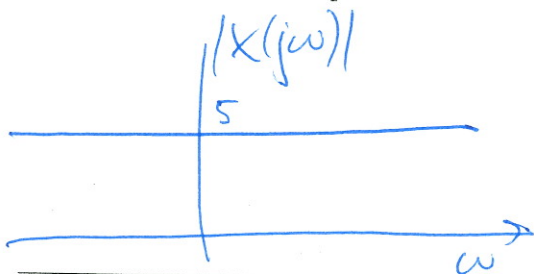
viz A

$c_0 = 2.5$

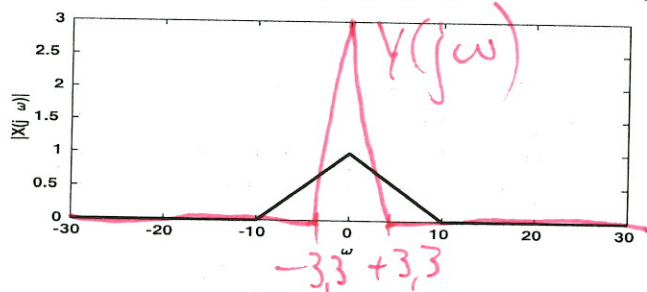
Příklad 3 Ukažte na zvoleném periodickém **komplexním** signálu se spojitým časem $x(t)$, že pro jeho koeficienty Fourierovy řady (FR) **neplatí** symetrie platná pro reálné signály: $c_k = c_{-k}^*$

cosinusová s komplexní amplitudou (na sobě liší se signál konstantou, na sobě se i koeficienty liší)
 $x(t) = j \cos(\omega t)$: $c_1 = j \cdot \frac{1}{2}$ $c_{-1} = j \cdot \frac{1}{2}$
 neplatí $c_1 = c_{-1}^*$

Příklad 4 Nakreslete průběh modulu a argumentu spektrální funkce $X(j\omega)$ pro signál: $x(t) = 5\delta(t-2)$, kde $\delta(t)$ je Diracův impuls.



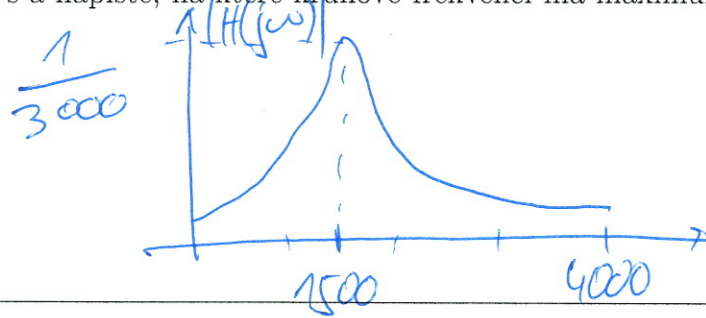
Příklad 5 Na obrázku je modul spektrální funkce $|X(j\omega)|$ signálu $x(t)$. Nakreslete do stejného obrázku modul spektrální funkce $|Y(j\omega)|$ zpomaleného signálu $y(t) = x(\frac{t}{3})$



viz A
 3x rychlejší a 3x větší

Příklad 6 Přenosová funkce $H(s)$ systému se spojitým časem nemá žádné nulové body a má dva póly: $p_1 = -1 + j1500$, $p_2 = -1 - j1500$

Nakreslete přibližně průběh modulu frekvenční charakteristiky tohoto systému $|H(j\omega)|$ pro kruhové frekvence ω od 0 do 4000 rad/s a napište, na které kruhové frekvenci má maximum.



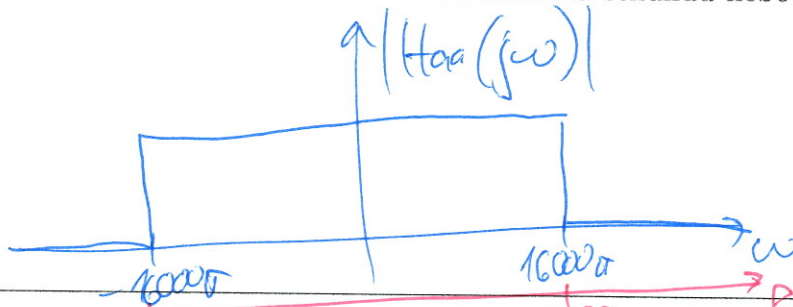
viz A
max. pro $\omega = 1500$ rad/s

Příklad 7 Přenosová funkce $H(s)$ systému se spojitým časem je dána takto: $H(s) = \frac{s+1}{s^2-2s+1}$. Určete, zda je systém stabilní.

viz A

Příklad 8 Nakreslete průběh modulu frekvenční charakteristiky anti-aliasingového filtru $|H_{aa}(j\omega)|$ pro vzorkování na vzorkovací frekvenci $F_s = 16$ kHz

Frekvenční osu můžete kreslit v radiánech za sekundu nebo v Hertzích, jasně označte, kterou jste použili.



viz A

Příklad 9 Dokažte libovolným způsobem, že spektrální funkce $X(e^{j\omega})$ (ω je normovaná kruhová frekvence) signálu s diskrétním časem $x[n]$ je **periodická**.

spektrum se vypočítá pomocí DTFT: $X(e^{j\omega}) = \sum_{n=-\infty}^{\infty} x[n]e^{j\omega n}$
 přidání libovolného násobku 2π k ω :
 $\tilde{X}(e^{j(\omega+2\pi)}) = \sum_{n=-\infty}^{\infty} x[n]e^{j(\omega+2\pi)n} = \sum_{n=-\infty}^{\infty} x[n]e^{j\omega n} e^{j2\pi n} = \sum_{n=-\infty}^{\infty} x[n]e^{j\omega n} = X(e^{j\omega})$
 to samé!

Příklad 10 Signál s diskrétním časem je dán takto: $x[n] = \begin{cases} 1 & \text{pro } n = 1 \\ 0 & \text{jinde} \end{cases}$. Vypočítejte a nakreslete průběh modulu i argumentu jeho spektrální funkce $\tilde{X}(e^{j\omega})$ pro normované kruhové frekvence ω od $-\pi$ rad do $+\pi$ rad. Pomůcka: k výpočtu použijte Fourierovu transformaci s diskrétním časem (DTFT).

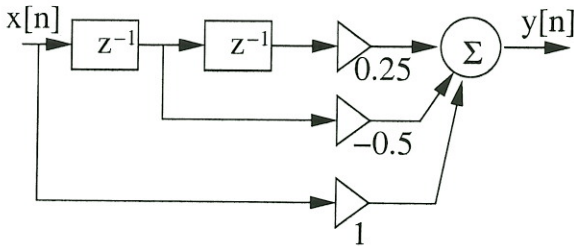
viz A

Příklad 11 Signál s diskretním časem o délce $N = 4$ je pro $n = [0 \ 1 \ 2 \ 3]$ dán takto: $x[n] = [0 \ 1 \ 0 \ 0]$. Vypočítejte všechny koeficienty jeho diskretní Fourierovy transformace (DFT): $X[k]$. Pomůcka: můžete provést kontrolu: hodnoty koeficientů $X[k]$ vzorkují průběh DTFT (předcházející příklad) na normovaných kruhových frekvencích $k \frac{2\pi}{N}$.

Viz A

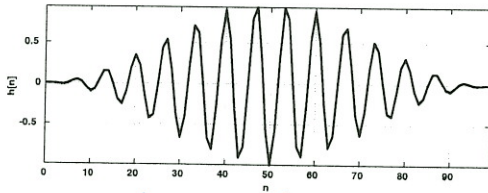
$X[0] = \dots\dots\dots X[1] = \dots\dots\dots X[2] = \dots\dots\dots X[3] = \dots\dots\dots$

Příklad 12 Určete, zda je číslicový filtr se schématem na obrázku stabilní. Svě tvrzení krátce zdůvodněte.

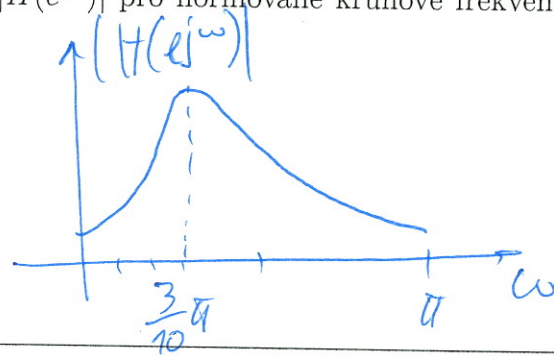


Viz A

Příklad 13 Impulsní odezva číslicového filtru má délku $N = 100$ vzorků a je na obrázku. Byla vygenerována jako $h[n] = w[n] \cos(\frac{3\pi}{10}n)$, kde $w[n]$ je okno tlumící na okrajích. Nakreslete přibližně průběh modulu frekvenční charakteristiky tohoto systému $|H(e^{j\omega})|$ pro normované kruhové frekvence ω od 0 do π rad a napište, na které frekvenci má maximum.



Viz A, max. na $\omega = \frac{3\pi}{10}$



Viz A

Příklad 14 Přenosová funkce $H(z)$ číslicového filtru má dva nulové body: $n_1 = n_2 = 0$ a dva póly: $p_1 = 0.99e^{j\frac{\pi}{4}}$, $p_2 = 0.99e^{-j\frac{\pi}{4}}$. Určete modul a argument jeho frekvenční charakteristiky pro normovanou kruhovou frekvenci $\omega = \frac{\pi}{4}$. Pomůcka: $\sqrt{2} = 1.4$, $\frac{1}{\sqrt{2}} = 0.7$.

Viz A

$|H(e^{j\frac{\pi}{4}})| = \dots\dots\dots$, $\arg H(e^{j\frac{\pi}{4}}) = \dots\dots\dots$

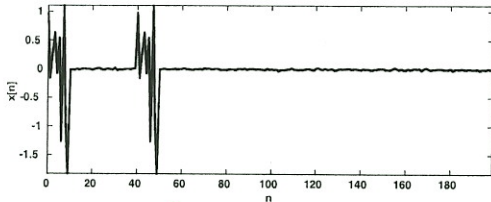
Příklad 15 Stacionární náhodný signál "Sportka" $\xi[n]$ nabývá diskretních hodnot $X_1 = 1$ až $X_{49} = 49$, které jsou stejně pravděpodobné. Nakreslete distribuční funkci $F(x)$ tohoto náhodného signálu.

Viz A

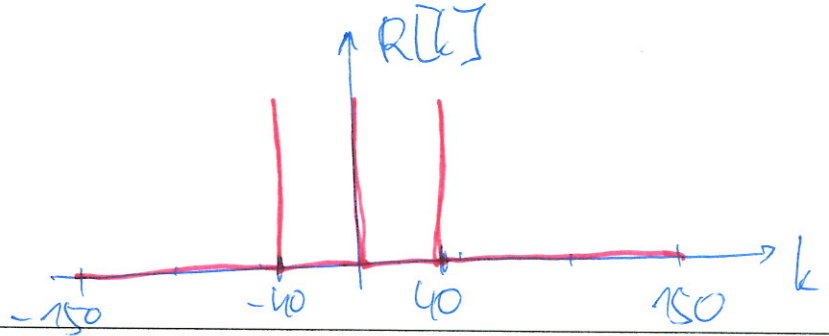
Příklad 16 Stacionární náhodný signál $\xi[n]$ má spojité hodnoty v intervalu od -50 do $+50$. Vzorek $\xi[n]$ se od předcházejícího $\xi[n-1]$ liší maximálně o 3, tedy $|\xi[n] - \xi[n-1]| < 3$. Nakreslete, jak bude přibližně vypadat sdružená funkce hustoty rozdělení pravděpodobnosti $p(x_1, x_2, k)$ náhodného signálu pro sousední vzorky (tedy $k = 1$) a krátce zdůvodněte. Pomůcka: funkce bude 2D, doporučuji osu x_1 vodorovně, x_2 svisle a jako hodnoty stupně šedi (příp. stupně barvy Vaší tužky).

viz A

Příklad 17 Na obrázku je průběh náhodného signálu $x[n]$. Nakreslete přibližně průběh jeho korelačních koeficientů $R[k]$ pro k od -150 do $+150$. Použijte vychýlený odhad. Na absolutní velikosti koeficientů nezáleží.



viz A

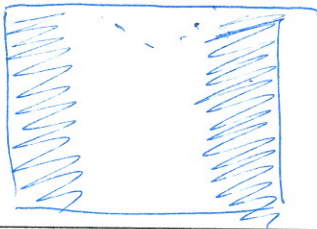


Příklad 18 Odvoďte vztah pro poměr signálu k šumu způsobenému kvantováním pro náhodný vstupní signál, jehož funkce hustoty rozdělení pravděpodobnosti je konstantní od hodnoty $-A$ do A , nulová jinde. Máme k dispozici b bitů, tedy $L = 2^b$ kvantovacích hladin. Ty jsou rozmístěny od $-A$ do A ; na nejbližší kvantovací hladinu zaokrouhlujeme. Pomůcka: postup jsme viděli na přednášce, jediným rozdílem je, že na vstupu není sinusovka, ale náhodný signál.

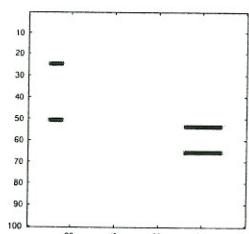
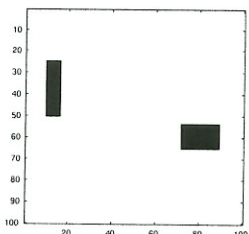
viz A

Příklad 19 Nakreslete obrázek o rozměrech $K = 100$ řádků a $L = 100$ sloupců s pixely danými vztahem: $x[k, l] = \frac{1}{2} + \frac{1}{2} \cos(2\pi \frac{l}{100})$, kde k je svislé počítadlo řádků a l je vodorovné počítadlo sloupců. Bílá (papír) je nula, černá (nebo barva Vaší tužky) je 1.

1 "vlna" vodorovne



Příklad 20 Na prvním obrázku je vstupní obrázek $x[k, l]$, na druhém jeho vyfiltrovaná verze. Bílá (papír) je nula, černá je 1. Jednalo se o filtraci pomocí masky (konvolučního jádra, matice) $h[k, l]$ o rozměrech 3×3 . Napište hodnoty $h[k, l]$ pro tuto filtraci.



debelice vodorovných hran,
např. takto

$$\frac{1}{8} \begin{bmatrix} -1 & -2 & -1 \\ 0 & 0 & 0 \\ 1 & 2 & 1 \end{bmatrix}$$

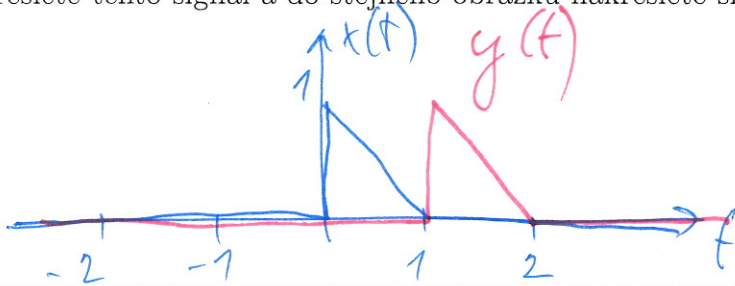
Semestrální zkouška ISS, řádný termín, 2.1.2020, skupina C

REF

Login: Příjmení a jméno: Podpis:
(prosím čitelně!)

Příklad 1 Signál se spojitým časem je dán jako: $x(t) = \begin{cases} 1-t & \text{pro } 0 \leq t \leq 1 \\ 0 & \text{jinde} \end{cases}$

Nakreslete tento signál a do stejného obrázku nakreslete signál $y(t) = x(t-1)$.



Příklad 2 Periodický signál se spojitým časem je dán jako: $x(t) = 1.5 + 16 \cos(200\pi t + 0.3\pi)$. Určete hodnotu nultého koeficientu jeho Fourierovy řady (FR).

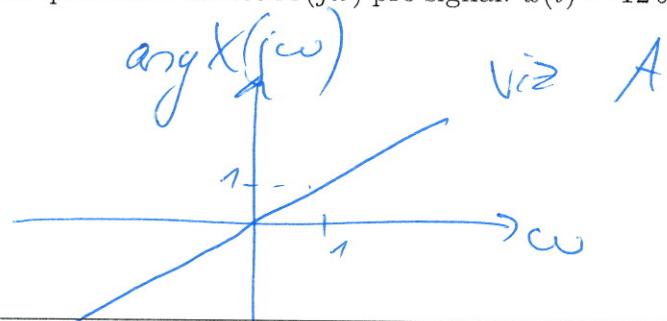
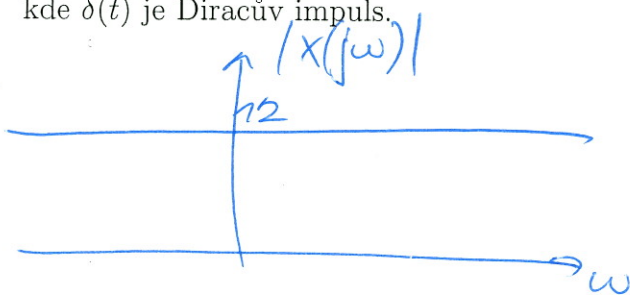
viz A/B

$c_0 = 1.5$

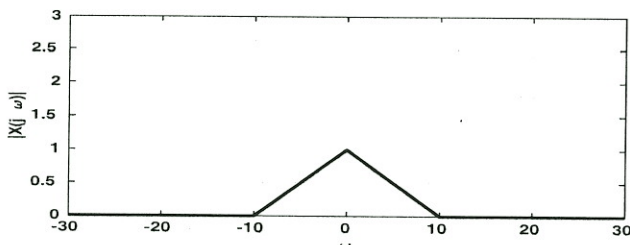
Příklad 3 Ukažte na zvoleném periodickém **komplexním** signálu se spojitým časem $x(t)$, že pro jeho koeficienty Fourierovy řady (FR) **neplatí** symetrie platná pro reálné signály: $c_k = c_{-k}^*$

viz A/B

Příklad 4 Nakreslete průběh modulu a argumentu spektrální funkce $X(j\omega)$ pro signál: $x(t) = 12\delta(t+1)$, kde $\delta(t)$ je Diracův impuls.



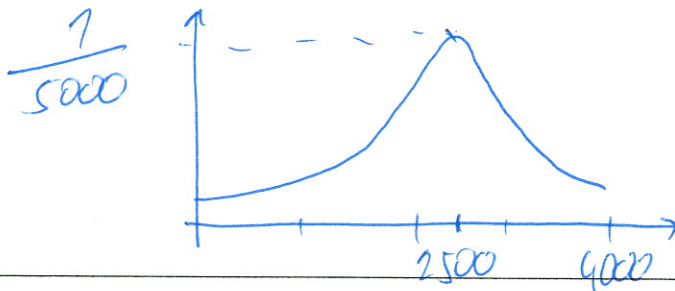
Příklad 5 Na obrázku je modul spektrální funkce $|X(j\omega)|$ signálu $x(t)$. Nakreslete do stejného obrázku modul spektrální funkce $|Y(j\omega)|$ zpomaleného signálu $y(t) = x(\frac{t}{2})$



viz A

Příklad 6 Přenosová funkce $H(s)$ systému se spojitým časem nemá žádné nulové body a má dva póly: $p_1 = -1 + j2500$, $p_2 = -1 - j2500$

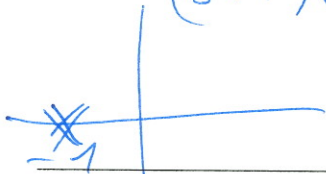
Nakreslete přibližně průběh modulu frekvenční charakteristiky tohoto systému $|H(j\omega)|$ pro kruhové frekvence ω od 0 do 4000 rad/s a napište, na které kruhové frekvenci má maximum.



viz A
max. pro $\omega = 2500$ rad/s

Příklad 7 Přenosová funkce $H(s)$ systému se spojitým časem je dána takto: $H(s) = \frac{s+1}{s^2+2s+1}$
Určete, zda je systém stabilní.

$$H(s) = \frac{s+1}{(s+1)(s+1)} = \frac{s+1}{(s-(-1))(s-(-1))}$$

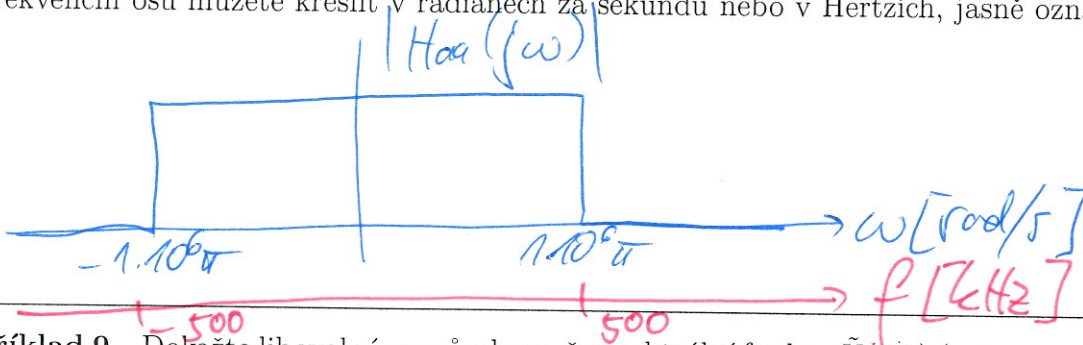


dva póly
 $p_1 = -1$, $p_2 = -1$

reálná složka
pólů je záporná
 \Rightarrow stabilní

Příklad 8 Nakreslete průběh modulu frekvenční charakteristiky anti-aliasingového filtru $|H_{aa}(j\omega)|$ pro vzorkování na vzorkovací frekvenci $F_s = 1$ MHz

Frekvenční osu můžete kreslit v radiánech za sekundu nebo v Hertzích, jasně označte, kterou jste použili.



viz A

Příklad 9 Dokažte libovolným způsobem, že spektrální funkce $\tilde{X}(e^{j\omega})$ (ω je normovaná kruhová frekvence) signálu s diskretním časem $x[n]$ je **periodická**.

viz A/B

Příklad 10 Signál s diskretním časem je dán takto: $x[n] = \begin{cases} 1 & \text{pro } n = 1 \\ 0 & \text{jinde} \end{cases}$. Vypočítejte a nakreslete průběh modulu i argumentu jeho spektrální funkce $\tilde{X}(e^{j\omega})$ pro normované kruhové frekvence ω od $-\pi$ rad do $+\pi$ rad. Pomůcka: k výpočtu použijte Fourierovu transformaci s diskretním časem (DTFT).

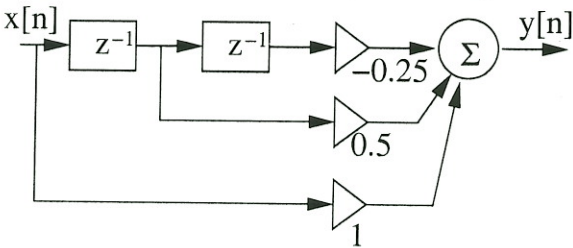
viz A

Příklad 11 Signál s diskretním časem o délce $N = 4$ je pro $n = [0 \ 1 \ 2 \ 3]$ dán takto: $x[n] = [0 \ 1 \ 0 \ 0]$. Vypočtete všechny koeficienty jeho diskretní Fourierovy transformace (DFT): $X[k]$. Pomůcka: můžete provést kontrolu: hodnoty koeficientů $X[k]$ vzorkují průběh DTFT (předcházející příklad) na normovaných kruhových frekvencích $k \frac{2\pi}{N}$.

viz A

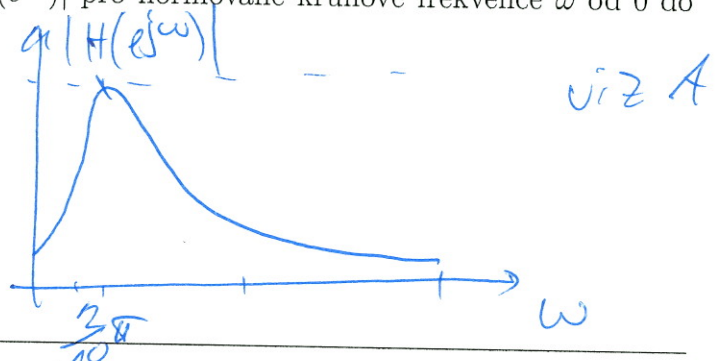
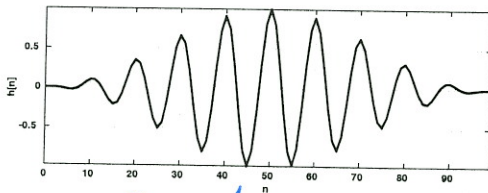
$X[0] = \dots\dots\dots X[1] = \dots\dots\dots X[2] = \dots\dots\dots X[3] = \dots\dots\dots$

Příklad 12 Určete, zda je číslicový filtr se schématem na obrázku stabilní. Své tvrzení krátce zdůvodněte.



viz A

Příklad 13 Impulsní odezva číslicového filtru má délku $N = 100$ vzorků a je na obrázku. Byla vygenerována jako $h[n] = w[n] \cos(\frac{2\pi}{10}n)$, kde $w[n]$ je okno tlumící na okrajích. Nakreslete přibližně průběh modulu frekvenční charakteristiky tohoto systému $|H(e^{j\omega})|$ pro normované kruhové frekvence ω od 0 do π rad a napište, na které frekvenci má maximum.



viz A
max na $\omega = \frac{2\pi}{10}$

Příklad 14 Přenosová funkce $H(z)$ číslicového filtru má dva nulové body: $n_1 = n_2 = 0$ a dva póly: $p_1 = 0.99e^{j\frac{\pi}{4}}$, $p_2 = 0.99e^{-j\frac{\pi}{4}}$. Určete modul a argument jeho frekvenční charakteristiky pro normovanou kruhovou frekvenci $\omega = \frac{\pi}{4}$. Pomůcka: $\sqrt{2} = 1.4$, $\frac{1}{\sqrt{2}} = 0.7$.

viz A

$|H(e^{j\frac{\pi}{4}})| = \dots\dots\dots$, $\arg H(e^{j\frac{\pi}{4}}) = \dots\dots\dots$

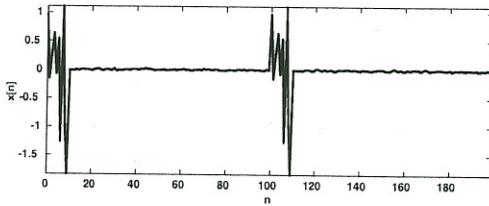
Příklad 15 Stacionární náhodný signál "Sportka" $\xi[n]$ nabývá diskretních hodnot $X_1 = 1$ až $X_{49} = 49$, které jsou stejně pravděpodobné. Nakreslete distribuční funkci $F(x)$ tohoto náhodného signálu.

viz A

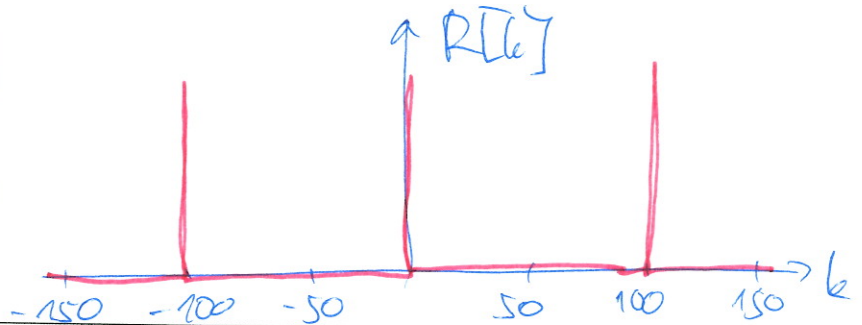
Příklad 16 Stacionární náhodný signál $\xi[n]$ má spojité hodnoty v intervalu od -50 do +50. Vzorek $\xi[n]$ se od předcházejícího $\xi[n-1]$ liší maximálně o 3, tedy $|\xi[n] - \xi[n-1]| < 3$. Nakreslete, jak bude přibližně vypadat sdružená funkce hustoty rozdělení pravděpodobnosti $p(x_1, x_2, k)$ náhodného signálu pro sousední vzorky (tedy $k = 1$) a krátce zdůvodněte. Pomůcka: funkce bude 2D, doporučuji osu x_1 vodorovně, x_2 svisle a jako hodnoty stupně šedi (příp. stupně barvy Vaší tužky).

viz A

Příklad 17 Na obrázku je průběh náhodného signálu $x[n]$. Nakreslete přibližně průběh jeho korelačních koeficientů $R[k]$ pro k od -150 do +150. Použijte vychýlený odhad. Na absolutní velikosti koeficientů nezáleží.



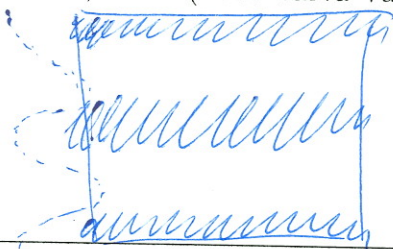
viz A



Příklad 18 Odvoďte vztah pro poměr signálu k šumu způsobenému kvantováním pro náhodný vstupní signál, jehož funkce hustoty rozdělení pravděpodobnosti je konstantní od hodnoty $-A$ do A , nulová jinde. Máme k dispozici b bitů, tedy $L = 2^b$ kvantovacích hladin. Ty jsou rozmístěny od $-A$ do A ; na nejbližší kvantovací hladinu zaokrouhlujeme. Pomůcka: postup jsme viděli na přednášce, jediným rozdílem je, že na vstupu není cosinusovka, ale náhodný signál.

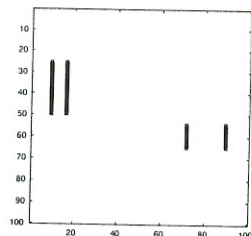
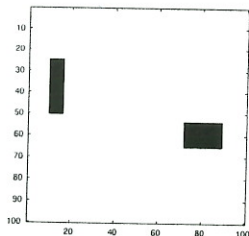
viz A

Příklad 19 Nakreslete obrázek o rozměrech $K = 100$ řádků a $L = 100$ sloupců s pixely danými vztahem: $x[k, l] = \frac{1}{2} + \frac{1}{2} \cos(2\pi \frac{l}{100} k)$, kde k je svislé počítadlo řádků a l je vodorovné počítadlo sloupců. Bílá (papír) je nula, černá (nebo barva Vaší tužky) je 1.



2 "vlny" svisle

Příklad 20 Na prvním obrázku je vstupní obrázek $x[k, l]$, na druhém jeho vyfiltrovaná verze. Bílá (papír) je nula, černá je 1. Jednalo se o filtraci pomocí masky (konvolučního jádra, matice) $h[k, l]$ o rozměrech 3×3 . Napište hodnoty $h[k, l]$ pro tuto filtraci.



viz A

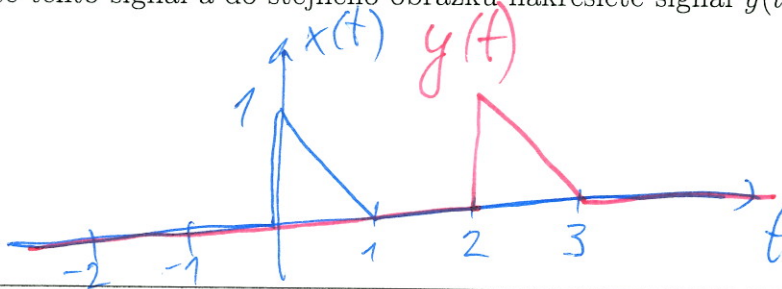
Semestrální zkouška ISS, řádný termín, 2.1.2020, skupina D

REF

Login: Příjmení a jméno: Podpis:
 (prosím čitelně!)

Příklad 1 Signál se spojitým časem je dán jako: $x(t) = \begin{cases} 1-t & \text{pro } 0 \leq t \leq 1 \\ 0 & \text{jinde} \end{cases}$

Nakreslete tento signál a do stejného obrázku nakreslete signál $y(t) = x(t-2)$.



Příklad 2 Periodický signál se spojitým časem je dán jako: $x(t) = 0.5 + 16 \cos(100\pi t + 0.3\pi)$. Určete hodnotu nultého koeficientu jeho Fourierovy řady (FŘ).

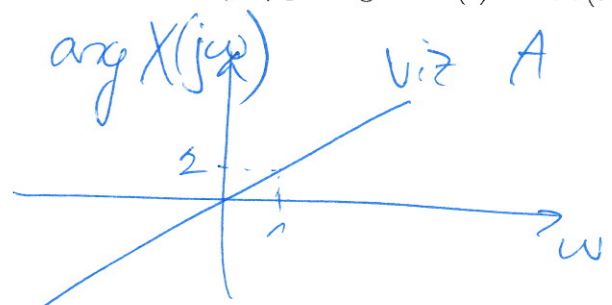
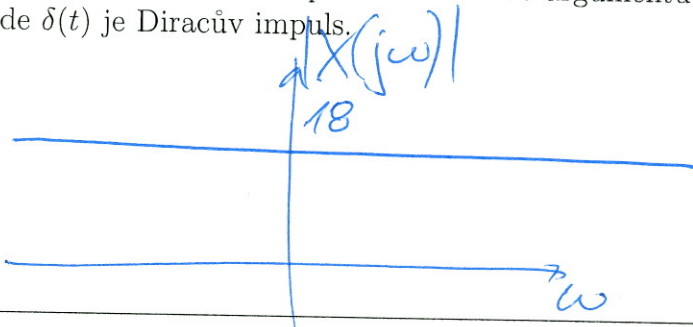
viz A

$c_0 = 0.5$

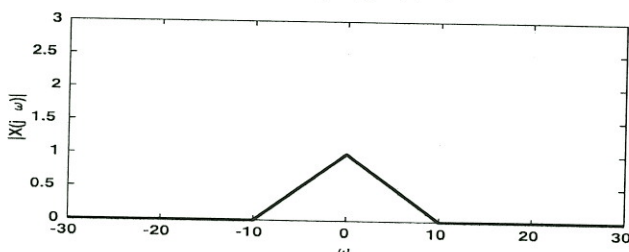
Příklad 3 Ukažte na zvoleném periodickém **komplexním** signálu se spojitým časem $x(t)$, že pro jeho koeficienty Fourierovy řady (FŘ) **neplatí** symetrie platná pro reálné signály: $c_k = c_{-k}^*$

viz A/B

Příklad 4 Nakreslete průběh modulu a argumentu spektrální funkce $X(j\omega)$ pro signál: $x(t) = 18\delta(t+2)$, kde $\delta(t)$ je Diracův impuls.



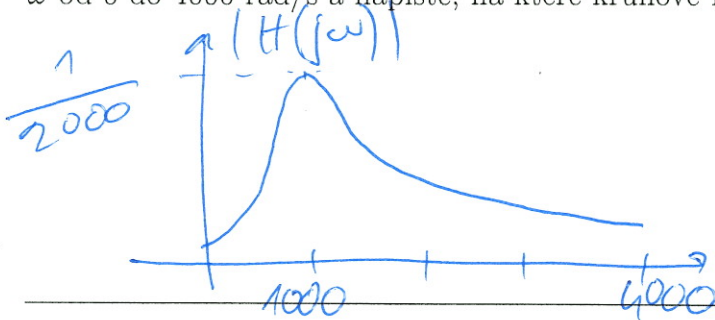
Příklad 5 Na obrázku je modul spektrální funkce $|X(j\omega)|$ signálu $x(t)$. Nakreslete do stejného obrázku modul spektrální funkce $|Y(j\omega)|$ zpomaleného signálu $y(t) = x(\frac{t}{3})$



viz B

Příklad 6 Přenosová funkce $H(s)$ systému se spojitým časem nemá žádné nulové body a má dva póly: $p_1 = -1 + j1000$, $p_2 = -1 - j1000$

Nakreslete přibližně průběh modulu frekvenční charakteristiky tohoto systému $|H(j\omega)|$ pro kruhové frekvence ω od 0 do 4000 rad/s a napište, na které kruhové frekvenci má maximum.



viz A

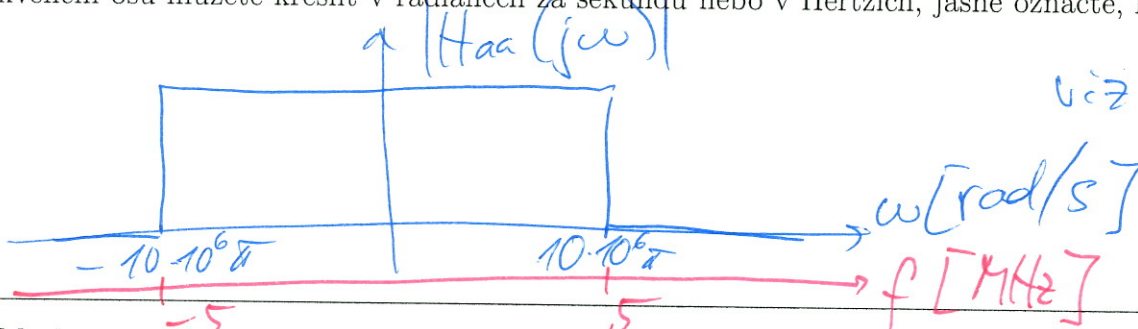
max. pro $\omega = 1000$ rad/s

Příklad 7 Přenosová funkce $H(s)$ systému se spojitým časem je dána takto: $H(s) = \frac{s-1}{s^2-2s+1}$. Určete, zda je systém stabilní.

viz A (na čitateli stabilita nezáleží)

Příklad 8 Nakreslete průběh modulu frekvenční charakteristiky anti-aliasingového filtru $|H_{aa}(j\omega)|$ pro vzorkování na vzorkovací frekvenci $F_s = 10$ MHz

Frekvenční osu můžete kreslit v radiánech za sekundu nebo v Hertzích, jasně označte, kterou jste použili.



viz A

Příklad 9 Dokažte libovolným způsobem, že spektrální funkce $\tilde{X}(e^{j\omega})$ (ω je normovaná kruhová frekvence) signálu s diskretním časem $x[n]$ je **periodická**.

viz A/B

Příklad 10 Signál s diskretním časem je dán takto: $x[n] = \begin{cases} 1 & \text{pro } n = 1 \\ 0 & \text{jinde} \end{cases}$. Vypočítejte a nakreslete průběh modulu i argumentu jeho spektrální funkce $\tilde{X}(e^{j\omega})$ pro normované kruhové frekvence ω od $-\pi$ rad do $+\pi$ rad. Pomůcka: k výpočtu použijte Fourierovu transformaci s diskretním časem (DTFT).

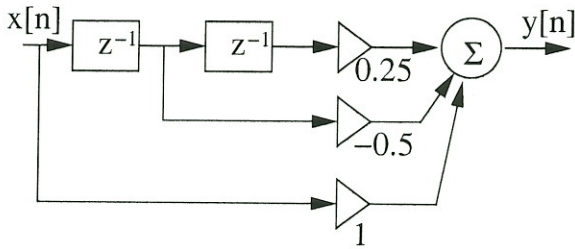
viz A

Příklad 11 Signál s diskretním časem o délce $N = 4$ je pro $n = [0 \ 1 \ 2 \ 3]$ dán takto: $x[n] = [0 \ 1 \ 0 \ 0]$. Vypočítejte všechny koeficienty jeho diskretní Fourierovy transformace (DFT): $X[k]$. Pomůcka: můžete provést kontrolu: hodnoty koeficientů $X[k]$ vzorkují průběh DTFT (předcházející příklad) na normovaných kruhových frekvencích $k \frac{2\pi}{N}$.

viz A

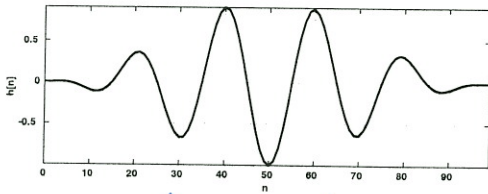
$X[0] = \dots\dots\dots X[1] = \dots\dots\dots X[2] = \dots\dots\dots X[3] = \dots\dots\dots$

Příklad 12 Určete, zda je číslicový filtr se schématem na obrázku stabilní. Svě tvrzení krátce zdůvodněte.

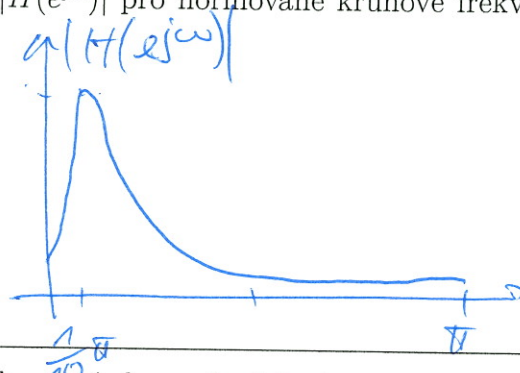


viz A

Příklad 13 Impulsní odezva číslicového filtru má délku $N = 100$ vzorků a je na obrázku. Byla vygenerována jako $h[n] = w[n] \cos(\frac{\pi}{10}n)$, kde $w[n]$ je okno tlumící na okrajích. Nakreslete přibližně průběh modulu frekvenční charakteristiky tohoto systému $|H(e^{j\omega})|$ pro normované kruhové frekvence ω od 0 do π rad a napište, na které frekvenci má maximum.



viz A, max. u $\omega = \frac{\pi}{10}$



viz A

Příklad 14 Přenosová funkce $H(z)$ číslicového filtru má dva nulové body: $n_1 = n_2 = 0$ a dva póly: $p_1 = 0.99e^{j\frac{\pi}{4}}$, $p_2 = 0.99e^{-j\frac{\pi}{4}}$. Určete modul a argument jeho frekvenční charakteristiky pro normovanou kruhovou frekvenci $\omega = \frac{\pi}{4}$. Pomůcka: $\sqrt{2} = 1.4$, $\frac{1}{\sqrt{2}} = 0.7$.

viz A

$|H(e^{j\frac{\pi}{4}})| = \dots\dots\dots$, $\arg H(e^{j\frac{\pi}{4}}) = \dots\dots\dots$

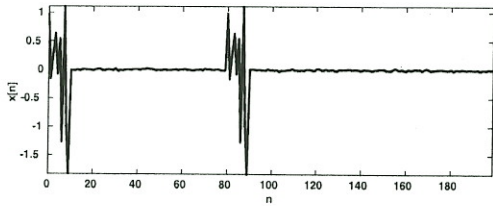
Příklad 15 Stacionární náhodný signál "Sportka" $\xi[n]$ nabývá diskretních hodnot $X_1 = 1$ až $X_{49} = 49$, které jsou stejně pravděpodobné. Nakreslete distribuční funkci $F(x)$ tohoto náhodného signálu.

viz A

Příklad 16 Stacionární náhodný signál $\xi[n]$ má spojité hodnoty v intervalu od -50 do +50. Vzorek $\xi[n]$ se od předcházejícího $\xi[n-1]$ liší maximálně o 3, tedy $|\xi[n] - \xi[n-1]| < 3$. Nakreslete, jak bude přibližně vypadat sdružená funkce hustoty rozdělení pravděpodobnosti $p(x_1, x_2, k)$ náhodného signálu pro sousední vzorky (tedy $k = 1$) a krátce zdůvodněte. Pomůcka: funkce bude 2D, doporučuji osu x_1 vodorovně, x_2 svisle a jako hodnoty stupně šedi (příp. stupně barvy Vaší tužky).

viz A

Příklad 17 Na obrázku je průběh náhodného signálu $x[n]$. Nakreslete přibližně průběh jeho korelačních koeficientů $R[k]$ pro k od -150 do +150. Použijte vychýlený odhad. Na absolutní velikosti koeficientů nezáleží.



viz A

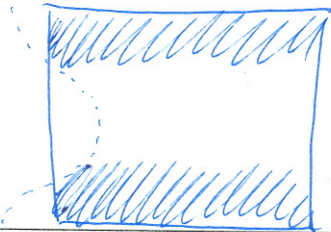


Příklad 18 Odvoďte vztah pro poměr signálu k šumu způsobenému kvantováním pro náhodný vstupní signál, jehož funkce hustoty rozdělení pravděpodobnosti je konstantní od hodnoty $-A$ do A , nulová jinde. Máme k dispozici b bitů, tedy $L = 2^b$ kvantovacích hladin. Ty jsou rozmístěny od $-A$ do A ; na nejbližší kvantovací hladinu zaokrouhlujeme. Pomůcka: postup jsme viděli na přednášce, jediným rozdílem je, že na vstupu není cosinusovka, ale náhodný signál.

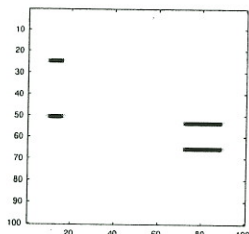
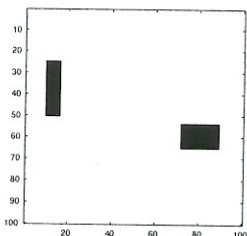
viz A

Příklad 19 Nakreslete obrázek o rozměrech $K = 100$ řádků a $L = 100$ sloupců s pixely danými vztahem: $x[k, l] = \frac{1}{2} + \frac{1}{2} \cos(2\pi \frac{l}{100} k)$, kde k je svislé počítadlo řádků a l je vodorovné počítadlo sloupců. Bílá (papír) je nula, černá (nebo barva Vaší tužky) je 1.

1 "šera" svisle



Příklad 20 Na prvním obrázku je vstupní obrázek $x[k, l]$, na druhém jeho vyfiltrovaná verze. Bílá (papír) je nula, černá je 1. Jednalo se o filtraci pomocí masky (konvolučního jádra, matice) $h[k, l]$ o rozměrech 3×3 . Napište hodnoty $h[k, l]$ pro tuto filtraci.



viz B